

ФАЗОВОЕ РАССЛОЕНИЕ В СИСТЕМЕ $Nd_{1-x}Ba_xCoO_{3-\delta}$ ($0.3 \leq x \leq 0.54$)

Д. Д. Халявин, И. О. Троянчук, Н. В. Каспер*

*Институт физики твердого тела и полупроводников Национальной академии наук
220072, Минск, Республика Беларусь*

Г. Шимчак

*Институт физики Польской академии наук
02-668, Варшава, Польша*

Поступила в редакцию 26 апреля 2001 г.

Показано, что медленно охлажденные образцы системы $Nd_{1-x}Ba_xCoO_{3-\delta}$ в концентрационном интервале $0.3 < x < 0.46$ находятся в двухфазном состоянии. Одна из фаз характеризуется O -орторомбическимиискажениями кристаллической решетки ($Pbnm$), характерными для ферромагнитных образцов с $x \leq 0.3$, другая фаза — тетрагональными ($P4/mmm$), характерными для образцов с $x \geq 0.46$. Тетрагональные искажения обусловлены упорядочением ионов Nd^{3+} и Ba^{2+} . В образцах, в которых ионы неодима и бария упорядочены ($Nd_{1-y}Ba_{1+y}Co_2O_{6-\gamma}$ при $-0.08 \leq y \leq 0.08$), выявлены переходы металл–диэлектрик и ориентационные магнитные фазовые превращения.

PACS: 72.15.Cd, 75.30.Kz, 75.50.Lk

В настоящее время замещенные ортокобальтиты редкоземельных элементов с общей химической формулой $Ln_{1-x}A_x^{2+}Co_{1-x}^{3+}Co_x^{4+}O_3$ (Ln — лантаноид, A — двухвалентный щелочноzemельный элемент) привлекают большой интерес исследователей, поскольку их свойства во многом аналогичны свойствам замещенных ортомanganитов $Ln_{1-x}A_x^{2+}Mn_{1-x}^{3+}Mn_x^{4+}O_3$, проявляющих эффект колоссального магнитосопротивления [1, 2]. В обоих классах первоскитов при увеличении содержания двухвалентных ионов наблюдается концентрационный переход в ферромагнитное металлическое состояние. Это послужило основанием для широкой интерпретации магнитных свойств этих соединений в терминах двойного обмена [1, 2]. Исходя из теории двойного обмена, де Жен [3] показал, что концентрационный переход из антиферромагнитного состояния в ферромагнитное в $La_{1-x}A_xMnO_3$ при $0 < x < 0.2$ должен проходить через неколлинеарное состояние. Альтернативной точкой зрения на механизм данного концентрационного перехода является модель, согласно которой

в интервале концентрационного перехода система разбивается на области с различным магнитным упорядочением [4, 5]. В настоящее время получены экспериментальные доказательства существования магнитного фазового расслоения в манганитах [6]. Имеется также ряд теоретических работ, посвященных данному вопросу [7, 8]. Гораздо меньше изучены концентрационные фазовые превращения в замещенных ортокобальтитах. Исходные соединения $LnCoO_3$ представляют собой пример оксидных систем, в которых наблюдается переход между спиновыми состояниями ионов. Величина расщепления $3d$ -уровней кобальта кристаллическим полем лигантов в этих соединениях близка к внутриатомной обменной энергии. Поэтому с ростом температуры происходит термическое возбуждение ионов трехвалентного кобальта из низкоспинового состояния, $t_{2g}^6e_g^0$ ($S = 0$), в промежуточное, $t_{2g}^5e_g^1$ ($S = 1$), или в высокоспиновое состояние, $t_{2g}^4e_g^2$ ($S = 2$), следствием чего является диамагнитное поведение при низких температурах и парамагнитное при высоких [1]. В работе [9] показано, что замещение неодима барием в системе $Nd_{1-x}Ba_xCoO_{3-\delta}$ ведет к концентрационному превращению из диамагнитного

*E-mail: khalyav@ifttp.bas-net.by

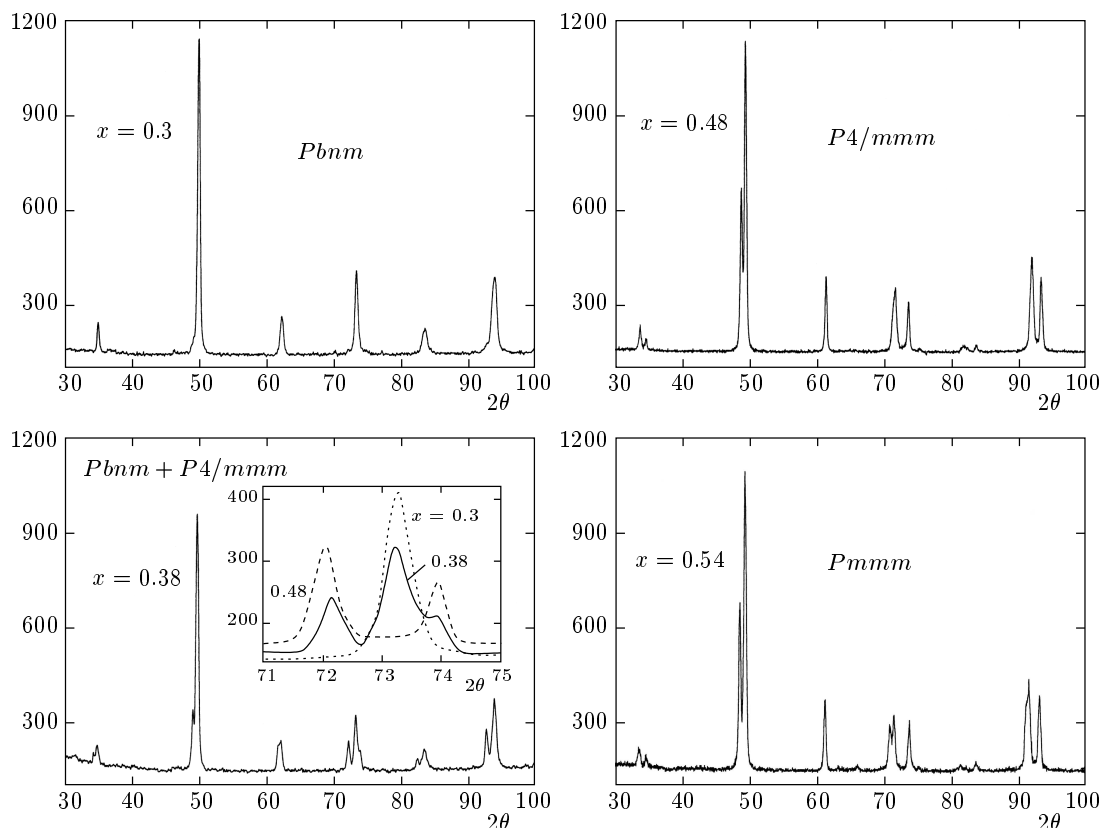


Рис. 1. Порошковые рентгенограммы для некоторых составов серии $\text{Nd}_{1-x}\text{Ba}_x\text{CoO}_{3-\delta}$. Вставка демонстрирует концентрационную эволюцию мультиплета (200) в кубическом приближении

в ферромагнитное состояние, а затем из ферромагнитного в антиферромагнитное. Переход из диамагнитного состояния в ферромагнитное в этой системе, по-видимому, имеет те же особенности, что и аналогичный переход в хорошо изученной системе $\text{La}_{1-x}\text{Sr}_x\text{CoO}_3$ [1]. А вот какой из возможных вариантов — неколлинеарная магнитная структура, состояние типа спинового стекла или двухфазное состояние — реализуется при переходе из ферромагнитного состояния в антиферромагнитное, до настоящего времени не сообщалось. В связи с этим целью настоящей работы явилось установление механизма концентрационного превращения из ферромагнитного состояния в антиферромагнитное в системе $\text{Nd}_{1-x}\text{Ba}_x\text{CoO}_{3-\delta}$.

Все образцы серии $\text{Nd}_{1-x}\text{Ba}_x\text{CoO}_{3-\delta}$ ($0.3 \leq x \leq 0.56$, концентрация изменялась с шагом $\Delta x = 0.02$) синтезировались по обычной керамической технологии из исходных оксидов и карбонатов марки ОСЧ, взятых в соответствующих пропорциях. Предварительный обжиг смеси проводился при температуре 900°C , а синтез — при температуре

$1100\text{--}1200^\circ\text{C}$ в течение 10 ч. После синтеза образцы медленно охлаждались (80 град/ч) с целью обеспечения более полного вхождения кислорода в решетку. Чтобы установить эффект влияния содержания кислорода на свойства, ряд образцов был закален с высоких температур. Электропроводность измерялась стандартным четырехконтактным методом. Магнитные измерения выполнялись на коммерческом магнитометре типа Foner. Кристаллоструктурные исследования проведены на рентгеновском аппарате ДРОН-3 при K_α -излучении Сr.

Согласно рентгеноструктурным данным, $\text{Nd}_{0.7}\text{Ba}_{0.3}\text{CoO}_{3-\delta}$, так же как исходное соединение NdCoO_3 [9, 10], имеет O -орторомбически искаженную структуру первовскита с пространственной группой $Pbnm$. На рентгенограмме $\text{Nd}_{0.68}\text{Ba}_{0.32}\text{CoO}_{3-\delta}$ наряду с рефлексами, принадлежащими O -орторомбической фазе, наблюдаются линии, принадлежащие другой фазе. Интенсивность этих линий возрастает с увеличением содержания бария, в то время как интенсивность рефлексов, соответствующих O -орторомбической фазе, умень-

шается. Двухфазное состояние сохраняется вплоть до $x = 0.44$. Возникающая при $x > 0.3$ вторая фаза имеет тетрагонально искаженную кристаллическую решетку пространственной группы $P4/tmm$, характерную для образцов с содержанием бария $0.46 \leq x < 0.5$. Таким образом, на основании рентгеноструктурных данных можно заключить, что система $Nd_{1-x}Ba_xCoO_{3-\delta}$ в концентрационном интервале $0.3 < x < 0.46$ разбивается на области с различными типами кристаллической структуры (рис. 1). Согласно работам [9, 11], тетрагональные искажения решетки в $Nd_{0.5}Ba_{0.5}CoO_{3-\delta}$ обусловлены пространственным упорядочением ионов Nd^{3+} и Ba^{2+} , подобным упорядочению ионов Y^{3+} и Ba^{2+} в соединении $YBaFeCuO_5$ [12]. Упорядочение ионов позволяет рассматривать $Nd_{0.5}Ba_{0.5}CoO_{3-\delta}$ как индивидуальное соединение, химическую формулу которого следует писать в виде $NdBaCo_2O_{6-\gamma}$. В соответствии с рентгеноструктурными данными составы с упорядоченными ионами Nd и Ba при медленном охлаждении на воздухе (80 град/ч) являются однофазными при варьировании содержания Ba и Nd от $Nd_{1.08}Ba_{0.92}Co_2O_{6-\gamma}$ до $Nd_{0.92}Ba_{1.08}Co_2O_{6-\gamma}$ ($Nd_{1-y}Ba_{1+y}Co_2O_{6-\gamma}$ при $-0.08 \leq y \leq 0.08$). При этом в области $-0.08 \leq y < 0$ составы характеризуются тетрагональными искажениями кристаллической решетки ($P4/tmm$), а в области $0 \leq y \leq 0.08$ — орторомбическими (Pmm). Величина орторомбических искажений увеличивается с повышением содержания бария. Закалка с высоких температур значительно расширяет область гомогенности упорядоченной фазы. Нам удалось получить однофазный образец $Nd_{1.34}Ba_{0.66}Co_2O_{6-\gamma}$ с тетрагональными искажениями кристаллической решетки, закалив его с $T = 1000^\circ\text{C}$. Этот факт, по-видимому, обусловлен увеличением дефицита кислорода в закаленных образцах, что, как известно, стабилизирует упорядочение редкоземельных ионов и бария в первоскитах [12].

Измерения намагниченности показали, что образец $Nd_{0.7}Ba_{0.3}CoO_{3-\delta}$ обладает спонтанной намагниченностью M ниже критической температуры ~ 160 К. Определить величину магнитного момента кобальтовой подрешетки (M_{Co}) при низких температурах затруднительно вследствие отрицательной величины $f-d$ -обмена, ориентирующего магнитный момент неодимовой подрешетки противоположно кобальтовой. Тем не менее, основываясь на полевой зависимости намагниченности, полученной при температуре жидкого гелия, можно оценить верхний предел M_{Co} . Величина спонтанной намагниченности образца с $x = 0.3$ при $T = 4.2$ К составляет

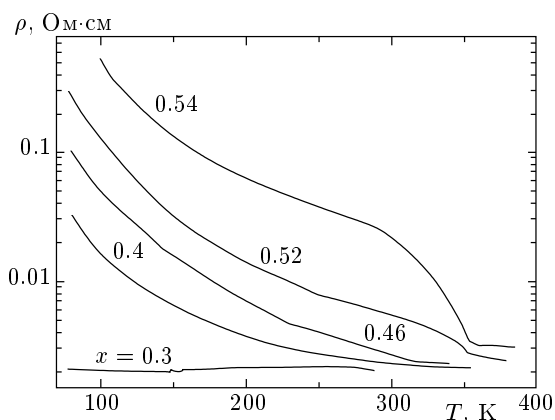


Рис. 2. Зависимость удельного сопротивления от температуры для образцов серии $Nd_{1-x}BaxCo_{3-\delta}$

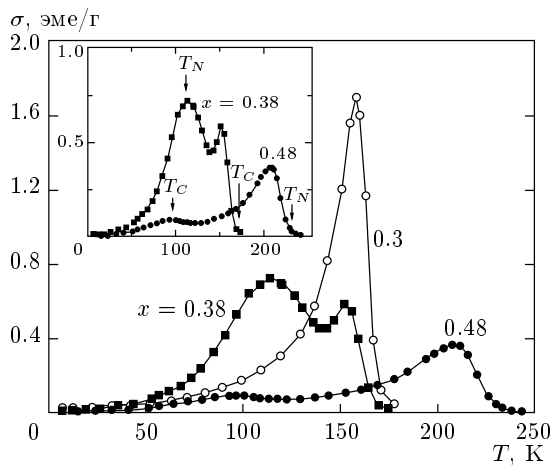


Рис. 3. Кривые температурной зависимости ZFC-намагниченности для образцов серии $Nd_{1-x}BaxCo_{3-\delta}$, полученные в поле $H = 100$ Э

$M = 0.5\mu_B/\text{форм. ед.}$ Если предположить, что при этой температуре неодимовая подрешетка упорядочена с магнитным моментом $M_{\text{Nd}} = 1.4\mu_B$ (величина M_{Nd} получена из нейтронографических данных для соединения $NdCoO_3$ [10] на один ион Nd), то для кобальтовой подрешетки получим значение $M_{\text{Co}} = 1.4 \cdot 0.7 + 0.5 = 1.5\mu_B$ на один ион Co. Расчетная величина M_{Co} в предположении промежуточного спинового состояния ионов Co^{3+} ($t_{2g}^5e_g^1$, $S = 1$) и низкоспинового состояния ионов Co^{4+} ($t_{2g}^5e_g^1$, $S = 1/2$) составляет $1.7\mu_B$ на один ион Co. Поэтому можно предположить, что часть ионов трехвалентного кобальта находится в низкоспиновом состоянии. С другой стороны, меньшая по сравнению с расчетной величина момента кобальтовой

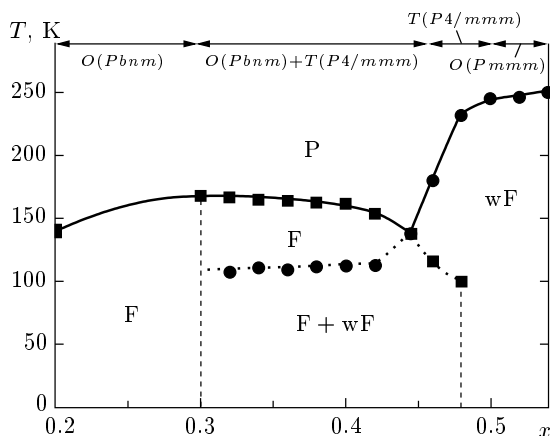


Рис. 4. Магнитная фазовая диаграмма системы $\text{Nd}_{1-x}\text{B}_{\text{x}}\text{CoO}_{3-\delta}$: F — ферромагнетик, wF — слабый ферромагнетик, P — парамагнетик; ■ соответствуют T_c , ● — T_N

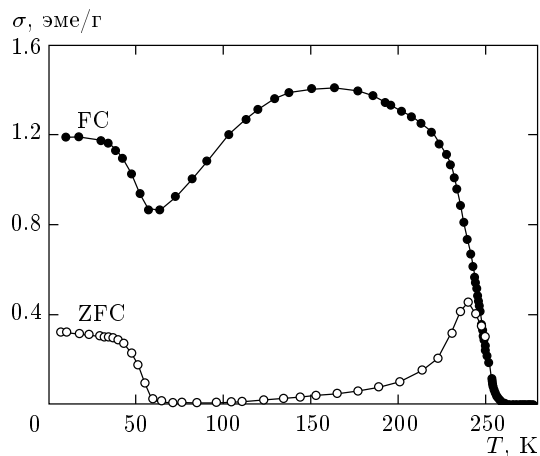


Рис. 5. Температурные зависимости FC- и ZFC-намагниченностей в поле $H = 100$ Э для соединения $\text{Nd}_{0.92}\text{Ba}_{1.08}\text{Co}_2\text{O}_{6-\delta}$

подрешетки может быть обусловлена антиферромагнитным вкладом сверхобменного взаимодействия $\text{Co}^{3+}-\text{O}-\text{Co}^{3+}$, конкурирующим с ферромагнитным обменом $\text{Co}^{3+}-\text{O}-\text{Co}^{4+}$. Удельное сопротивление $\text{Nd}_{0.7}\text{Ba}_{0.3}\text{CoO}_{3-\delta}$ при $T = 77$ К имеет величину $\rho = 2 \cdot 10^{-3}$ Ом·см и слабо увеличивается при повышении температуры, что характерно для металлов (рис. 2). При увеличении содержания бария свыше $x = 0.3$ спонтанный магнитный момент постепенно уменьшается. Одновременно с уменьшением намагниченности происходит локализация носителей заряда, о чем свидетельствует концентрационный переход от металлического к активированному типу проводимости (рис. 2). Для образца $\text{Nd}_{0.7}\text{Ba}_{0.3}\text{CoO}_3$

вблизи точки Кюри наблюдается пик намагниченности при измерениях в малых полях после охлаждения в отсутствие поля (zero field cooling, ZFC). Для образцов $\text{Nd}_{1-x}\text{B}_{\text{x}}\text{CoO}_{3-\delta}$ с $x > 0.3$ в низкотемпературной области ($T \sim 130$ К) на кривой ZFC-намагниченности появляется аномалия, которая с ростом содержания бария преобразуется в четко выраженный дополнительный пик. Относительная величина обоих пиков меняется при увеличении концентрации бария (рис. 3). Из рентгеноструктурных данных следует, что в концентрационном интервале $0.3 < x < 0.46$ система $\text{Nd}_{1-x}\text{B}_{\text{x}}\text{CoO}_{3-\delta}$ находится в двухфазном состоянии. Очевидно, возникающий на кривой ZFC-намагниченности дополнительный пик при $x > 0.3$ обусловлен появлением тетрагональной фазы, в которой ионы неодима и бария упорядочены. Результаты исследования магнитных свойств системы $\text{Nd}_{1-x}\text{B}_{\text{x}}\text{CoO}_{3-\delta}$ могут быть наглядно представлены в виде фазовой диаграммы, показанной на рис. 4. Критическая температура для состава $x = 0.2$ взята из работы [9], для остальных составов она определялась непосредственно из представленного эксперимента. Верхняя (сплошная) критическая линия, отделяющая парамагнитную область от магнитоупорядоченной, определена по началу перехода из парамагнитного в упорядоченное состояние. Нижняя (штриховая) линия отражает положение низкотемпературного максимума на кривой ZFC-намагниченности (рис. 3, вставка). В интервале концентраций $0.3 < x < 0.4$ характерные температуры обеих фаз слабо меняются, тогда как интенсивность низкотемпературного пика намагниченности постепенно возрастает. Такое поведение магнитных свойств можно ожидать в том случае, когда химический состав фаз меняется слабо и изменение происходит за счет возрастания содержания тетрагональной фазы. В интервале $0.42 < x < 0.46$ происходит инверсия, т. е. температура магнитного упорядочения фазы с упорядоченными ионами неодима и бария становится выше. Составы $\text{Nd}_{1-y}\text{B}_{1+y}\text{Co}_2\text{O}_{6-\delta}$ обладают величиной спонтанной намагниченности не более $0.15 \mu_B$ на один ион Co. В настоящее время природа спонтанной намагниченности в этих составах является предметом дискуссии. Возможно, упорядоченные по барнию и неодиму фазы являются слабыми ферромагнетиками. В температурной области $30 \text{ K} < T < 230 \text{ K}$ соединение $\text{Nd}_{0.92}\text{B}_{1.08}\text{Co}_2\text{O}_{6-\delta}$ демонстрирует аномальное поведение намагниченности в слабых магнитных полях (рис. 5). По-видимому, это связано с ори-

ентационными магнитными переходами. Об этом свидетельствует тот факт, что намагниченность, измеренная после охлаждения в присутствии поля (field cooling, FC), может быть направлена противоположно направлению небольшого внешнего магнитного поля в интервале температур 60–200 К. Ориентационные переходы были детально изучены в редкоземельных ортоферритах $RFeO_3$ [13]. В высокотемпературной области $Nd_{0.92}Ba_{1.08}Co_2O_{6-\gamma}$ проявляет четко выраженный фазовый переход металл–диэлектрик (рис. 3), подобный тому, который наблюдался в $GdBaCo_2O_{5.5}$ [11]. В работах [14, 15] показано, что орторомбические искажения кристаллической решетки и переход металл–диэлектрик в $RBaCo_2O_{6-\delta}$ (R — редкоземельный ион либо Y) тесно связаны с содержанием кислорода в этих соединениях и характерны для фазы $O_{5.5}$, в которой происходит упорядочение вакансий кислорода. По-видимому, отклонение катионного соотношения в $NdBaCo_2O_{6-\gamma}$ в сторону увеличения содержания бария ведет к увеличению кислородной нестехиометрии и приближению γ к значению 5.5, аналогично тому как это происходит в $RBaCo_2O_{6-\gamma}$ при уменьшении радиуса редкоземельного иона от Nd ($\gamma = 0.3$) до Tb ($\gamma = 0.5$) [14]. Таким образом, из полученных данных следует, что концентрационный переход из ферромагнитного состояния в слабоферромагнитное в $Nd_{1-x}Ba_xCoO_{3-\delta}$ происходит через смешанное состояние, т. е. система разбивается на области с различными типами магнитного упорядочения. При этом различный магнитный порядок обусловлен различным химическим составом этих областей. Наиболее вероятно, фазовое расслоение происходит при температурах около 600°C, когда образец интенсивно взаимодействует с кислородом, что приводит к распаду твердых растворов.

Работа выполнена при финансовой поддержке Фонда фундаментальных исследований Республики Беларусь (проект Ф99Р-038) и Польского комитета по науке (грант 5 P03B 016 20).

ЛИТЕРАТУРА

1. M. A. Senaris-Rodriguez and J. B. Goodenough, *J. Sol. St. Chem.* **118**, 323 (1995).
2. Y. Tokura and Y. Tomioka, *J. Magn. Magn. Mat.* **200**, 1 (1999).
3. P.-G. de Gennes, *Phys. Rev.* **118**, 141 (1960).
4. E. O. Wollan and W. C. Koehler, *Phys. Rev.* **100**, 545 (1955).
5. И. О. Троянчук, *ЖЭТФ* **102**, 251 (1992).
6. J. M. De Teresa, M. R. Ibarra, P. A. Algarabel et al., *Nature* **386**, 256 (1997).
7. S. Yunoki, A. Moreo, and E. Dagotto, *Phys. Rev. Lett.* **81**, 25, 5612 (1998).
8. Э. Л. Нагаев, *ФТТ* **40**, 2069 (1998).
9. I. O. Troyanchuk, N. V. Kasper, D. D. Khalyavin, A. N. Chobot, G. M. Chobot, and H. Szymczak, *J. Phys.: Condens. Matter* **10**, 6381 (1998).
10. Plaza, E. Palacios, J. Bartolome, S. Rosenkranz, C. Ritter, and A. Furrer, *Physica B* **234**, 632 (1997).
11. I. O. Troyanchuk, N. V. Kasper, D. D. Khalyavin, H. Szymczak, R. Szymczak, and M. Baran, *Phys. Rev. Lett.* **80**, 3380 (1998).
12. L. Er-Rakho, C. Michel, Ph. Lacorre, and B. Raveau, *J. Sol. St. Chem.* **73**, 531 (1988).
13. К. П. Белов, А. К. Звездин, А. М. Кадомцева, Р. З. Левитин, *Ориентационные переходы в редкоземельных магнетиках*, Наука, Москва (1979).
14. Maignan, C. Martin, D. Pelloquin, N. Nguyen, and B. Raveau, *J. Sol. St. Chem.* **142**, 247 (1999).
15. D. Akahoshi and Y. Ueda, *J. Sol. St. Chem.* **156**, 355 (2001).